

II-115 台形水路の跳水について(2)

日本大学理工学部 正 粟津清蔵
日本大学理工学部 正 ○大津岩夫

前報では台形断面水路における跳水の共役水深と跳水によるエネルギー損失に関する無次元理論式を提示し、その実験による検証を行ない、跳水の長さについても検討した。今回はそれらを確認する意味で、より広い範囲の実験を行ない、跳水の長さとその物理的意義について検討を加えた。また下が1に近い場合の跳水も長方形断面の波状跳水とはかなり異なる type を示すことを見出しました。

実験装置と方法 図-1の装置を用いて表-1のような断面形状を用いた。跳水の先端は流れの方向に沿って振動するが、この振動の平均位置を跳水の始点と定義する。跳水の終点は水面における逆流の観察されなくなった点と定義する。

台形水路の跳水 台形水路の跳水は流れが \pm 方向ばかりではなく \mp 方向にも広がらねばならない。 m が大きくなるにつれ、側壁近くへ流入する運動量は弱くなり、圧力勾配 $\frac{\partial P}{\partial X}$ と平衡を保てなくなり、両側壁近くに逆流が誘起される。そのため両側に鉛直軸を有する渦(平面渦と呼ぶことにする)が形成される。また逆に m を小さくして長方形断面に近くなつくると側壁近くへ流入する運動量は大きくなり、平面渦は小さくなり、ほとんどなくなつてしまう。台形水路の跳水はこの平面渦と \mp 方向の軸を有するローラーとの組合せた複雑な現象で F_r , m , $\frac{h_1}{h}$ により種々の

type に分類できるであろう。 m が小であると主流は偏向しにくく跳水は対称となりやすいが、 m が大であると側面から流れ込む逆流量が大きいため、流れは偏向しやすく跳水は非対称となりやすい。また Froude 数(慣性項/重力項) F_r が大きくなつくると、射流より跳水中に入り込む jet の X 方向の運動量が強くなり主流は偏向しにくくなり、跳水は対称を保ちやすくなるようである。(図-2)

共役水深 前報に提示した無次元運動量方程式の実験による検証結果が図-3, 4 に示してあり、理論と一致していることがわかる。

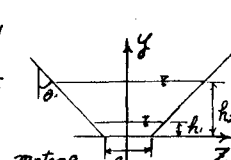
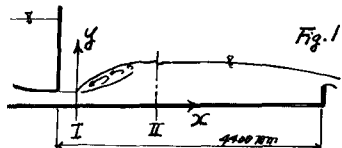


Fig. 1

Table 1

m	f (cm)
$\frac{2}{3}$	12.25
1	7.40 14.40

(対称断面)

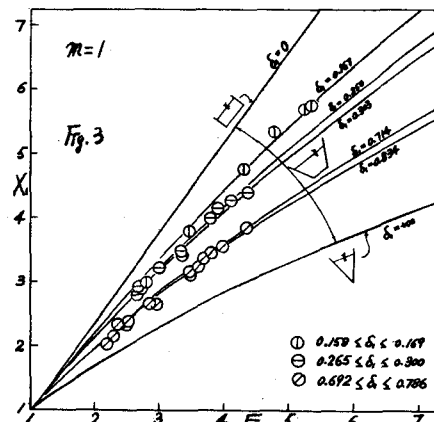


Fig. 3

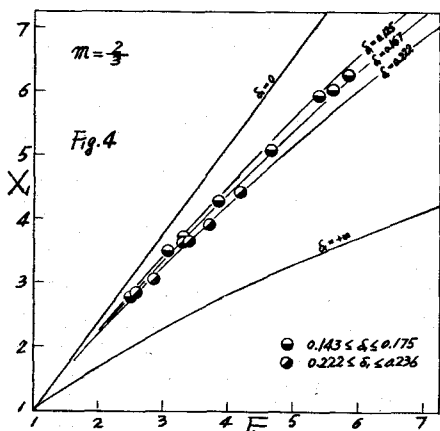


Fig. 4

跳水によるエネルギー損失 平均の水理量によって誘起される平均流のエネルギー方程式(非圧縮性)は.

$$\int_{\text{cv}} \rho \frac{D}{Dt} \left(\frac{g^2}{2} + \Omega \right) dA = \int_{\text{cv}} \nabla \cdot (\bar{V} \cdot \bar{V}) dA - \int_{\text{cv}} \nabla \cdot (\rho \bar{T}_{vv} \bar{V}) dA - \int_{\text{cv}} \bar{\Phi}_m dA + \int_{\text{cv}} \rho \bar{V}' (\nabla \bar{T}_{vv} \bar{V}) dA \quad \dots (1)$$

跳水部を control volume と選び、断面 I においては Reynolds 応力と粘性の影響を、また自由水面においては Reynolds 応力を無視し、断面 I, II で静水圧分布をもつものと仮定し、(1)式を適用すると

$$d_1 \frac{V^2}{2g} + h_1 = d_2 \frac{V^2}{2g} + h_2 - \frac{1}{Q} \int_{A_2} \frac{1}{\rho g} [2(\frac{\partial \bar{u}}{\partial x}) \bar{u} + (\frac{\partial \bar{v}}{\partial x} + \frac{\partial \bar{u}}{\partial y}) \bar{v} + (\frac{\partial \bar{w}}{\partial x} + \frac{\partial \bar{u}}{\partial z}) \bar{w}] dA + \frac{1}{Q} \int_{A_2} \frac{1}{g} [\bar{u} \bar{u} \bar{u} + \bar{v} \bar{u} \bar{v} + \bar{w} \bar{u} \bar{w}] dA + \frac{1}{Q} \int_{A_2} \frac{1}{\rho g} [2(\frac{\partial \bar{u}}{\partial x})^2 + 2(\frac{\partial \bar{v}}{\partial y})^2 + 2(\frac{\partial \bar{w}}{\partial z})^2 + (\frac{\partial \bar{v}}{\partial x} + \frac{\partial \bar{u}}{\partial y})^2 + (\frac{\partial \bar{w}}{\partial x} + \frac{\partial \bar{u}}{\partial z})^2 + (\frac{\partial \bar{v}}{\partial y} + \frac{\partial \bar{w}}{\partial z})^2] dA - \frac{1}{Q} \int_{A_2} \frac{1}{g} [\bar{u}^2 \frac{\partial \bar{u}}{\partial x} + \bar{v}^2 \frac{\partial \bar{v}}{\partial y} + \bar{w}^2 \frac{\partial \bar{w}}{\partial z} + \bar{u} \bar{v}^2 (\frac{\partial \bar{u}}{\partial y} + \frac{\partial \bar{v}}{\partial x}) + \bar{u} \bar{w}^2 (\frac{\partial \bar{u}}{\partial z} + \frac{\partial \bar{w}}{\partial x}) + \bar{v} \bar{w}^2 (\frac{\partial \bar{v}}{\partial z} + \frac{\partial \bar{w}}{\partial y})] dA \quad \dots (2)$$

これより跳水によるエネルギー損失 H_L は.

$$H_L = \frac{1}{Q} \int_{\text{cv}} \bar{\Phi}_m dA - \frac{1}{gQ} \int_{\text{cv}} \bar{V}' (\nabla \bar{T}_{vv} \bar{V}) dA \quad \dots (3)$$

と表示される。(2)式において $d_1 = d_2 = 1$ とおき、右辺を三項と四項を他の項に比し無視するヒ一般の Bernoulli eq. となり、台形断面の場合には前報(6)式となる。この式の実験による検証が図5に示してあり、理論とは一一致してあることがわかる。また跳水の type によって Energy dissipation の機構が異なってることも理解される。

跳水の長さ 前報で提示した式

$$f\left(\frac{L_i}{H_L}, \frac{h_i}{g}, m, F_i\right) = 0 \quad \dots (4)$$

あるいは前報(6)式より

$$\frac{H_L}{H_i} = f(F_i, S_i)$$

を用いて

$$f\left(\frac{L_i}{H_L}, \frac{h_i}{g}, m, \frac{H_L}{H_i}\right) = 0 \quad \dots (5)$$

とし実験値をプロットする

と、図6, 7 のようになる。

放物線形断面、長方形断面⁽²⁾の実験値を(5)式によつて整理すると図8, 9 のようになる。放物線形、長方形ともに $m = \frac{1}{2} \sim \frac{2}{3}$ の台形断面の実験値に $F > 3.5$ では一致してある。また

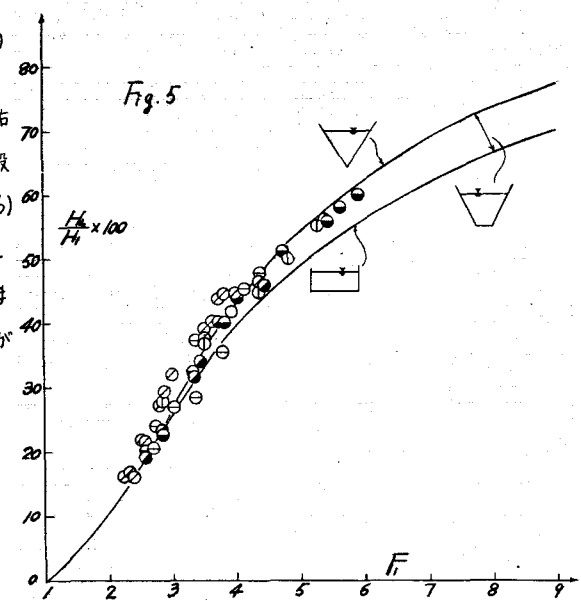


Fig. 5

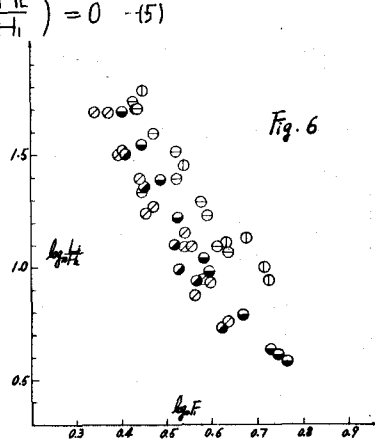


Fig. 6

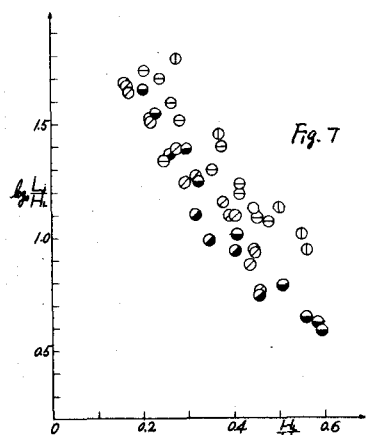


Fig. 7

急拡水路の実験値⁽⁴⁾と(5)式によつて整理すると図-10のようになり(この実験における跳水は Submerged jump であり、一般の跳水とは同一にはみなせないか)良い相関が得られる。このように(4)式あるいは(5)式で資料を整理すると良い相関が得られる理由について考えてみる。(3)式において粘性の影響を無視することは

$$H_L = - \int_{\frac{1}{2}}^{\frac{1}{2}(B+my)} \frac{1}{gQ} \overline{W'(\nabla \cdot T_{wv})} dF$$

えらいた断面形状に対する

$$\frac{1}{gQ} \overline{W'(\nabla \cdot T_{wv})} = f(x, y, z, F_i)$$

と考え、跳水の長さ L_j を跳水によるエネルギー損失が完了するまでの長さと解釈すると

$$H_L = - \int_{\frac{1}{2}}^{L_j} f(x, y, z, F_i) dz$$

$$= - \int_0^{L_j} \int_0^{\frac{h(x)}{2(B+my)}} f(x, y, z, F_i) dy dz dx$$

よつて

$$H_L = f(h_1, h_2, \ell, m, F_i, L_j)$$

π定理により無次元化すると

$$\frac{L_j}{H_L} = f(F_i, \frac{h_1}{\ell}, m)$$

となり(4), (5)式で示すことが妥当であることが推論される。

F_i が 1 に近いときの跳水 F_i が 1 に近く流れが限界流に近い場合、長方形断面のときは波状跳水となることが知られているが、台形の場合はどういう水面形状になるかまだ明らかにされていない。今回は主に $m=1$ の場合についての実験結果の一例をあげると図-11のようになり、長方形の場合とはかなり異なった type となつていて、跳水の先端には Mach 角 β が現れる。台形水路では側面に沿つた逆流があるため、P 点から衝撃波を発生して波面 PC を形成し、このような Mach 角を生ずるのである。また流れが三次元的なため長方形断面のよう

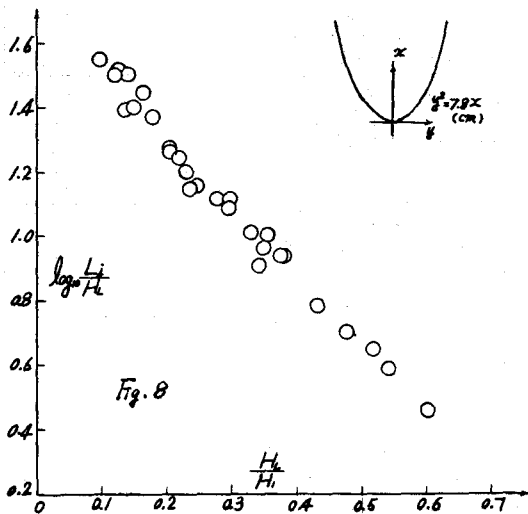


Fig. 8

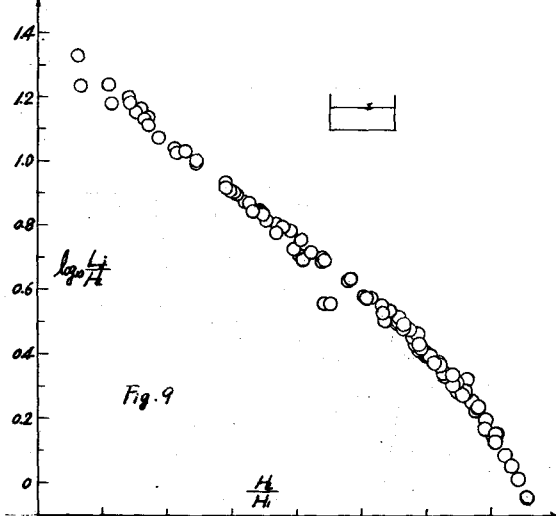


Fig. 9

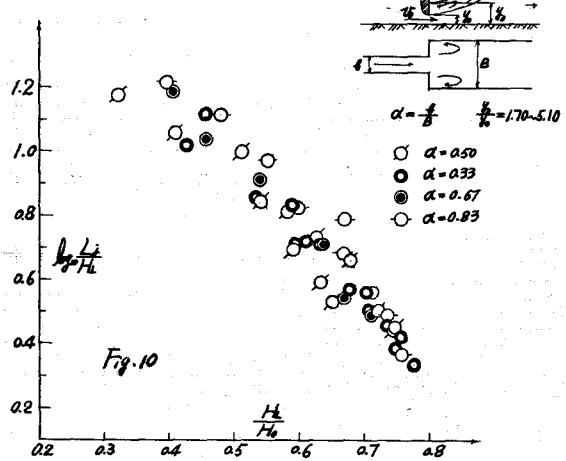


Fig. 10

に、はっきりした

波形は生じないが、

断面の中央部に山、

谷の波模様が現れ

る。渦領域は小さ

く、水面形の変化も

急でないため跳

水の長さをはっ

きり定めること

ができる。

Mach 角 β は

$$\sin \beta = \frac{c}{U_1}$$

$c = \sqrt{g h_1}$ で伝はんするものと考えると

$$\sin \beta = \frac{\sqrt{g h_1}}{U_1} = \frac{1}{F} \quad \dots (6)$$

(6)式と実験値との比較が図12に示してあり、実

験値が $\sin \beta = 1/F$ の上方にプロットされた範囲

では、波の形が段波のようになつていて、段波の

波速 $C = \sqrt{gh} (1 + 0 + \Delta)$ で伝はんし、下方にプロ

ロットされる範囲では微小振幅波の波速 $C =$

$\sqrt{\frac{g h}{2\pi} \tanh \frac{2\pi h}{\lambda}}$ で伝はんするものと解釈される。

F が大きくなつてると ($F=2.3$ 位から) 中央部

の山谷はほとんどなくなり 波角も大きく変動

するようになる。また跳水先端の波模様をよく見ると、ごくわずかで

はあるが図13のような曲線 (A~B) になつているのが見られる。これは台形水路の射流の流速分布の影響のためであろう。

(記号) A: 流速, Q: 流量, T: 水面幅, h: 水深, V: 平均流速

$$D = \frac{A}{T}, F = \frac{V}{\sqrt{g D}}, S = \frac{m h}{F}, \alpha: \text{運動エネルギーの補正係数}, H = d \frac{V^2}{2g} + h, H_L = H_1 - H_2$$

$$\text{Suffix 1: 跳水する直前の諸量, Suffix 2: 跳水した直後の諸量}, X_1 = \frac{h_1}{h_{11}}, \bar{F}_1 = \frac{V_1}{\sqrt{g h_{11}}}, H_0 = \frac{V_0^2}{2g} + y_0 \quad (\text{Fig. 10})$$

$$U = \bar{U} + U' \quad (\text{X} \text{ 方向の速度}), V = \bar{V} + V' \quad (\text{Y} \text{ 方向}), W = \bar{W} + W' \quad (\text{Z} \text{ 方向}), \bar{U} = \sqrt{\bar{U}^2 + \bar{V}^2 + \bar{W}^2}$$

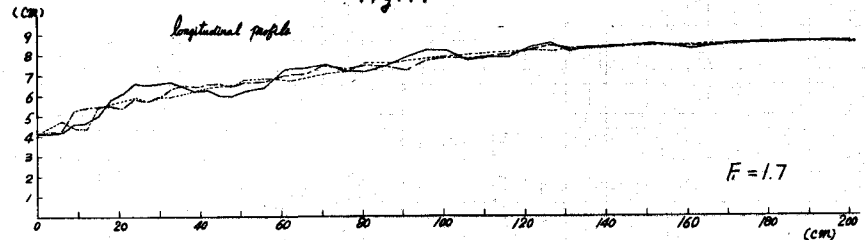
$$\bar{V} = \bar{U} i + \bar{V} j + \bar{W} k, V' = U' i + V' j + W' k, \Omega: \text{質量力のボテンシャル}, \bar{\frac{\partial}{\partial x}} = \bar{U} \frac{\partial}{\partial x} + \bar{V} \frac{\partial}{\partial y} + \bar{W} \frac{\partial}{\partial z}$$

$$\bar{T}_S = \begin{pmatrix} T_{xx} & T_{xy} & T_{xz} \\ T_{yx} & T_{yy} & T_{yz} \\ T_{zx} & T_{zy} & T_{zz} \end{pmatrix} \quad \bar{T}_{\bar{U}\bar{V}\bar{W}} = \begin{pmatrix} \bar{U}'\bar{U}' & \bar{U}'\bar{V}' & \bar{U}'\bar{W}' \\ \bar{V}'\bar{U}' & \bar{V}'\bar{V}' & \bar{V}'\bar{W}' \\ \bar{W}'\bar{U}' & \bar{W}'\bar{V}' & \bar{W}'\bar{W}' \end{pmatrix} \quad \bar{T}_{U'V'W'} = \begin{pmatrix} U'U & UW & WU \\ VU & VV & VW \\ WV & WV & WW \end{pmatrix} \quad \bar{\bar{U}} = \text{平均運動エネルギー補正係数} - \text{散逸係数}$$

(文摘) (1)栗津大津, 土木学会第23回年講, 1968.

(2) P.A. Argyroulou, I.A.H.R. (TH) 1957.

Fig. 11



水の長さをはっ

きり定めること

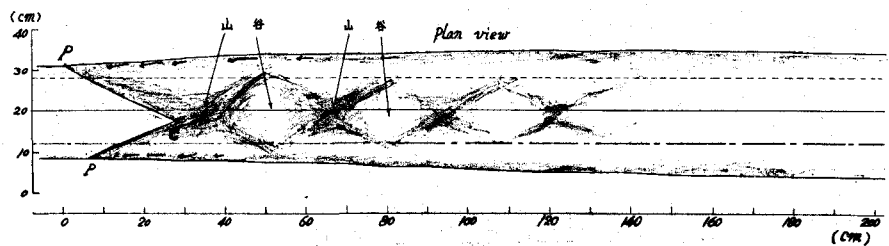
ができる。

Mach 角 β は

$$\sin \beta = \frac{c}{U_1}$$

$c = \sqrt{g h_1}$ で伝はんするものと考えると

$$\sin \beta = \frac{\sqrt{g h_1}}{U_1} = \frac{1}{F} \quad \dots (6)$$



$$\begin{array}{ll} \bullet & m = \frac{2}{3} \quad 0.675 \leq 0.301 \\ \ominus & m = 1 \quad 0.2675 \leq 0.202 \\ \circ & m = -1 \quad 0.8725 \leq 0.7086 \end{array}$$

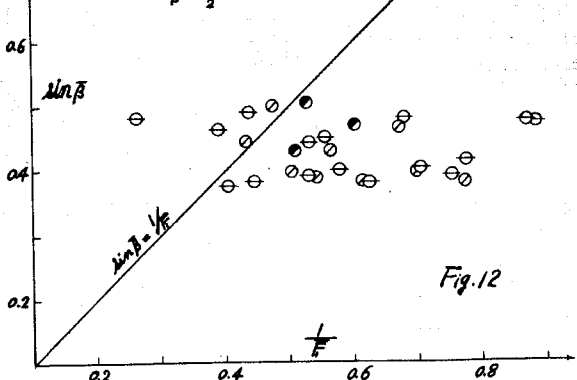


Fig. 12

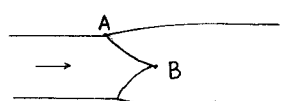


Fig. 13

(3) J.N. Bradley, A.J. Peterka, A.S.C.E. 1957, 10.

(4) N.Rajaratnam, K.Subramanya, A.S.C.E. 1968, 3.